



# Exsolução de Nanopartículas de Ni<sup>0</sup> em CeO<sub>2</sub> para Produção de Hidrogênio via Reforma a Vapor do Etanol

Emerson L. S. Veiga<sup>1\*</sup>, Julia P. Rodrigues<sup>1</sup>, Dryade F. de Paula<sup>1</sup>, Stéfany S. Figueiredo<sup>1</sup>, Fernando Piazzolla<sup>1</sup>, Fabio C. Fonseca<sup>1</sup>.

<sup>1</sup>Instituto de Pesquisas Energética e Nucleares (IPEN-CNEN), 05508-000 São Paulo, SP, Brasil. e-mail:emerson.luiz.veiga@gmail.com

#### Resumo

RESUMO - Este estudo demonstra o desenvolvimento de catalisadores de CeO<sub>2</sub> com nanopartículas de Niº geradas por exsolução, para produção de hidrogênio via reforma a vapor de etanol. O material Ceo.9Nio.1O<sub>2</sub>–δ foi sintetizado pelo método hidrotermal assistido por micro-ondas, calcinado (500 °C) e reduzido em diferentes temperaturas (600 °C e 800 °C). A difratometria de raios X confirmou inserção de Ni²+ na estrutura e formação de Niº após redução. Micrografias revelaram partículas entre 20–30 nm para a amostra calcinada e o surgimento de pontos claros indicando Niº na superfície das amostras reduzidas. Testes catalíticos (600 °C, 18 h, H<sub>2</sub>O:etanol=3:1) mostraram >90% conversão de etanol e ~70% H<sub>2</sub> para amostra reduzida a 600 °C, contra ~80% conversão e ~63% H<sub>2</sub> para a reduzida a 800 °C. A menor atividade a 800 °C deve-se à redução da área superfícial. Além disso, a produção de CO sugere inibição da reação de deslocamento gás-água nas condições reacionais.

Palavras-chave: Exsolução, reforma a vapor do etanol, biocombustíveis, hidrogênio, óxido de cério.

ABSTRACT - This study demonstrates the development of  $CeO_2$  catalysts with  $Ni^0$  nanoparticles generated by exsolution for hydrogen production via ethanol steam reforming. The  $Ce_{0.9}Ni_{0.1}O_2$ – $\delta$  material was synthesized by the microwave-assisted hydrothermal method, calcined (500 °C), and reduced at different temperatures (600 °C and 800 °C). X-ray diffractometry confirmed  $Ni^{2+}$  insertion into the structure and  $Ni^0$  formation after reduction. Micrographs revealed particles between 20–30 nm for the calcined sample and the emergence of bright spots indicating  $Ni^0$  on the surface of the reduced samples. Catalytic tests (600 °C, 18 h,  $H_2O$ :ethanol=3:1) showed >90% ethanol conversion and ~70%  $H_2$  for the sample reduced at 600 °C, versus ~80% conversion and ~63%  $H_2$  for the sample reduced at 800 °C. The lower activity at 800 °C is due to the reduction in surface area. Furthermore, CO production suggests inhibition of the water-gas shift reaction under the reaction conditions.

Keywords: Exsolution, ethanol steam reforming, biofuels, hydrogen, cerium oxide.

## Introdução

A crescente demanda energética e os impactos ambientais dos combustíveis fósseis impulsionam alternativas sustentáveis, como o hidrogênio (H<sub>2</sub>). A reforma a vapor de etanol (RVE) destaca-se por gerar H<sub>2</sub> de forma renovável, utilizando um biocombustível de grande produção no Brasil (1,2). Contudo, catalisadores duradouros e eficientes são essenciais. Níquel (Ni) é uma alternativa econômica aos metais nobres, mas sofre com desativação durante longos períodos de reação (2). Estratégias como a exsolução de nanopartículas de Ni<sup>o</sup> em CeO<sub>2</sub> surgem como solução promissora, melhorando dispersão e estabilidade, em comparação aos catalisadores impregnados de maneira tradicional (3).

Este trabalho visa desenvolver um catalisador eficiente de CeO<sub>2</sub> decorado com nanopartículas de Ni<sup>o</sup> para produção de H<sub>2</sub> via RVE.

# Experimental

Síntese e caracterização dos catalisadores.

A composição  $Ce_{0.9}Ni_{0.1}O_{2-\delta}$  (NCO) foi obtida por via hidrotermal assistida por micro-ondas (SynthWave,

Milestone). Soluções aquosas de  $Ce(NO_3)_3 \cdot 6H_2O$  e  $Ni(NO_3)_2 \cdot 6H_2O$  foram misturadas (30 min, 25 °C) e o pH ajustado a  $10,0\pm0,2$  com  $NH_4OH$  (28%). O gel formado foi transferido para reatores de Teflon© a 180 °C por  $1\,h$  (pressão interna de ~110 bar). Posteriormente, o material foi seco e calcinado a 500 °C. As amostras calcinadas foram caracterizadas por diferentes técnicas. Parte das amostras passou por redução em  $H_2$  a 600 °C e 800 °C, para gerar nanopartículas metálicas de níquel por exsolução.

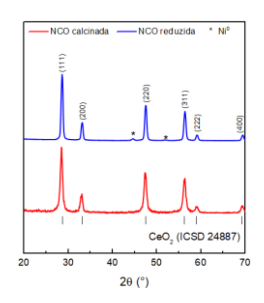
Testes catalíticos para a reação de Reforma a Vapor do Etanol

Os ensaios ocorreram em reator de leito fíxo de quartzo (Ø 4 mm), utilizando 50 mg de catalisador. Após aquecimento à temperatura de reação sob N<sub>2</sub> (60 mL min<sup>-1</sup>), manteve-se o sistema por 18 h a 600 °C, utilizando uma razão molar de H<sub>2</sub>O:etanol igual a 3:1, via dois fluxos independentes de N<sub>2</sub> (30 mL min<sup>-1</sup>) em saturadores com temperaturas de 20 °C (etanol) e 60 °C (água). Os efluentes foram analisados em tempo real por cromatografia gasosa. A conversão de etanol, distribuição de produtos e rendimento de H<sub>2</sub> foram calculados a partir dos cromatogramas.



### Resultados e Discussão

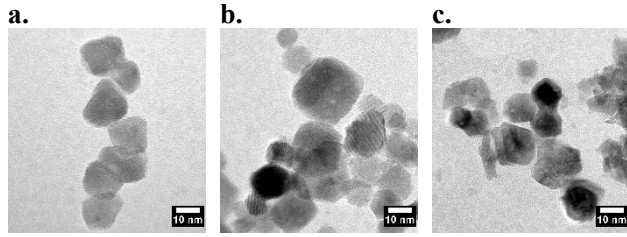
A análise dos difratogramas de raios X apresentados na Figura 1 mostra que o método de síntese foi adequado para a obtenção de materiais com fase única após a calcinação. As reflexões dos planos cristalinos do CeO<sub>2</sub> foram colocadas como referência para comparação. Observa-se um pequeno deslocamento dos picos da amostra NCO calcinada (em vermelho) em direção a ângulos menores, o que é coerente com a inserção de Ni<sup>2+</sup> na estrutura cristalina, de acordo com a Lei de Bragg.



**Figura 1.** Difratogramas de raios X das amostras NCO calcinada (vermelho) e NCO reduzida a 600 °C (azul).

Para a amostra reduzida (em azul) a 600 °C, são observados dois picos referentes à fase secundária de Niº, o que indica o sucesso do processo de exsolucão do níquel na superfície do material. Além disso, verifica-se um deslocamento dos picos em direção a ângulos maiores, evidenciando que a saída do níquel da estrutura afeta os parâmetros de rede da matriz óxida, conforme esperado. O mesmo comportamento foi identificado para a amostra reduzida a 800 °C (não mostrado).

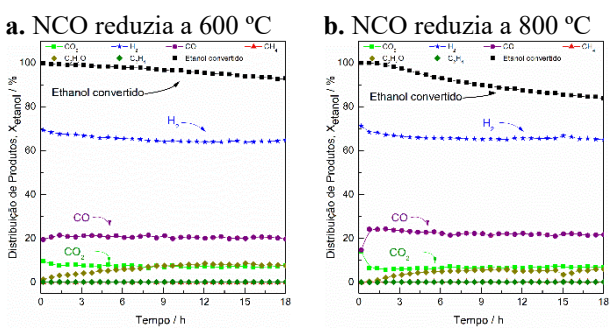
As micrografías obtidas por MET, apresentadas na Figura 2, mostram partículas com tamanho na faixa de 20–30 nm para a amostra calcinada (Figura 2a). Para as amostras reduzidas a 600 °C e 800 °C (Figuras 2b e 2c, respectivamente), observa-se um aumento no tamanho das partículas devido à maior temperatura empregada. Além disso, pontos mais claros são visíveis nas superfícies das amostras, confirmando a formação de Niº após o tratamento redutor.



**Figura 2.** Micrografías de MET (Microscopia Eletrônica de Transmissão) das amostras: (a) calcinada, (b) reduzida a 600 °C e (c) reduzida a 800 °C.



Após a caracterização estrutural e morfológica as amostras foram submetidas a ensaios catalíticos para a reação de reforma a vapor do etanol. A conversão de etanol e a distribuição dos produtos obtidos são mostrados na Figura 3:



**Figura 3.** Conversão de etanol e distribuição de produtos da reação RVE a 600 °C com razão molar H<sub>2</sub>O/etanol: 3:1

A Figura 3a apresenta os resultados da amostra reduzida a 600 °C. Essa amostra atingiu mais de 90% de conversão de etanol após 18 horas de teste, com produção de ~70% de H<sub>2</sub> (eficiência de 93%) e subprodutos como CO e CO<sub>2</sub>. A elevada concentração de CO indica que a reação de deslocamento gás-água não foi favorecida nessas condições. Analogamente, a amostra reduzida a 800 °C também apresentou conversão significativa de etanol (~80%), com produção de ~63% de H<sub>2</sub> (eficiência de 84%). A menor atividade desta amostra é consequência da redução da área superficial específica (de 25 m²/g para 10 m²/g) com o aumento da temperatura de redução.

#### Conclusões

A exsolução de Niº em CeO2 produz catalisadores eficientes para reforma a vapor de etanol. Temperaturas de redução mais baixas (600 °C) são suficientes para a formação de níquel metálico na superfície do CeO2, maximizando a atividade catalítica. Os resultados demonstram que a exsolução é uma alternativa viável para aumentar a eficiência e durabilidade de catalisadores de níquel.

# Agradecimentos

IPEN, CNPq, FAPESP, FUNDEP.

## Referências

- Kabeyi MJB, Olanrewaju OA, Front Energy Res. 2022, o
- 2. Kovač A, Paranos M, Marciuš D. *Int J Hydrogen Energy* **2021**, 61, 10016–35.
- 3. A.J. Carrillo, L. Navarrete, M. Laqdiem, M. Balaguer, J.M. Serra, *Mater. Adv.* **2021**, 2924–2934.